

## ПОВЕДЕНИЕ НИТЕВИДНЫХ КРИСТАЛЛОВ В БЛИЗИ ТЕМПЕРАТУРЫ ПЛАВЛЕНИЯ

**K. K. Зилинг (Новосибирск)**

Сделан расчет скорости диффузии ползучести в условиях неоднородного напряженного состояния (изгиба), из которого следует, что этот механизм не может вносить какой-либо заметный вклад в деформацию даже при температуре, близкой к температуре плавления. Отсутствие ползучести, за исключением первой стадии, показано экспериментально на нитевидных кристаллах кадмия.

Работа предпринята с целью выяснить вопрос — существует ли какой-либо механизм ползучести в бездислокационном кристалле. Изучение таких кристаллов в условиях растяжения проведено в [1], причем никакой заметной деформации ползучести (за исключением первой стадии) обнаружено не было. Постановка работы при изгибе вызвана тем, что при неоднородном напряженном состоянии могут иметь место эффекты, связанные с направленной диффузией вакансий в поле напряжений [2].

Для того чтобы вычислить вклад этих эффектов в деформацию, рассмотрим поведение консольной балки длиной  $L$ , поперечное сечение которой является квадратом со стороной  $h$ . Начало координат считается помещенным на одном из ребер в месте закрепления. Ось  $z$  направлена вдоль оси балки, а ось  $y$  — параллельно приложенной силе. Концу балки с координатой  $z = L$  сообщен постоянный прогиб  $Y$ .

При решении задачи не рассматривается некоторое изменение напряжений, вызванное начальным перераспределением вакансий и аналогичное описанному в [3].

Плотность потока вакансий  $j$  при постоянной температуре, как известно, может быть записана в виде

$$j = -\frac{Dc}{kT} \nabla \mu \quad (1)$$

Здесь  $D$  — коэффициент диффузии вакансий,  $c$  — их концентрация,  $k$  — постоянная Больцмана и  $T$  — абсолютная температура. Под химическим потенциалом  $\mu$  в данном случае понимается изменение соответствующего термодинамического потенциала системы кристалла — источник при образовании вакансии в данной точке кристалла. При этом лишний атом переносится на поверхность источника, которым служит такой же кристалл, но без напряжений.

Применив условие непрерывности и считая, что потоки достаточно слабы, а внутри кристалла отсутствуют источники вакансий, имеем

$$\operatorname{div}(c \nabla \mu) = 0 \quad (2)$$

Связь  $\mu$  и  $c$  дается соотношением

$$\mu = \operatorname{const} + kT \ln c + U \quad (3)$$

Энергию взаимодействия  $U$  можно представить в виде [4]

$$U = \alpha \omega (\sigma_{11} + \sigma_{22} + \sigma_{33})$$

Здесь  $\omega$  — атомный объем,  $\sigma_{nn}$  — главные напряжения,  $\alpha$  — численный коэффициент  $|\alpha| \sim 10^{-1}$ .

Значение химического потенциала на поверхности  $\mu_s$  находилось способом, предложенным Херингом [5], т. е. из условий, что изменение свободной энергии системы кристалла — источник при образовании вакансии вблизи некоторой точки поверхности равно изменению свободной (в данном случае — упругой) энергии при удалении атома непосредственно с поверхности. В обоих случаях атомы помещаются в источник.

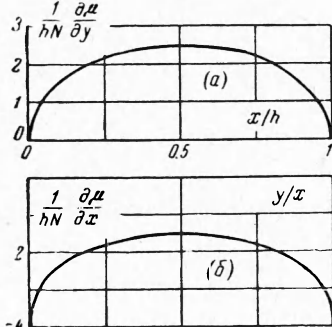
Методами теории тонких балок легко можно показать, что это изменение приблизительно равно  $-\omega \sigma_{33}^2 / 2E$ , где  $E$  — модуль Юнга. Принимая  $L \gg h$ , потоком вдоль оси  $z$  можно пренебречь и решать задачу как плоскую. Для определенности выбрано сечение  $z = 0$ . Тогда

$$\mu_s = N(2y - h)^2, \quad N = -\frac{9}{8} \frac{YE\omega}{L^4} \quad (4)$$

Используя (3), уравнение (2) в безразмерных координатах может быть очевидной заменой переменных преобразовано к виду

$$\Delta V - A^2 \varepsilon^2 V = 0 \quad (A = \alpha \omega \nabla \sigma_{33} / kT \varepsilon, \quad \varepsilon = 10^{-8}) \quad (5)$$

$$V_s = \exp \{-A\varepsilon u + B\varepsilon^2 (2u - 1)^2\}, \quad B = N / kT \varepsilon^2 \quad (6)$$



Фиг. 1

При разумных значениях наибольших напряжений в  $10^7 \text{ дн/см}^2$  величины  $A$  и  $B$  близки к единице.

Решение (5) может быть найдено в виде ряда

$$V = V_0 + \varepsilon V_1 + \varepsilon^2 V_2 + \dots \quad (7)$$

функции  $V_n$  которого удовлетворяют рекуррентной системе

$$\Delta V_0 = 0, \quad \Delta V_1 = 0, \quad \Delta V_n = A^2 V_{n-2} \quad (n = 2, 3, \dots)$$

Краевые условия для  $V_n$  находятся из разложения (6) по степеням  $\varepsilon$ . Ограничиваюсь в разложении  $V$  членами не выше  $\varepsilon^2$ , решение можно записать

$$V = 1 - A\varepsilon y + \frac{1}{2}A^2y^2\varepsilon^2 + BW\varepsilon^2 + \dots$$

где  $W$  — решение уравнения  $\Delta W = 0$  при  $W_s = (2y - 1)^2$ .

Переходя обратно к  $\mu$ , нетрудно убедиться, что решение уравнения (2) с краевыми условиями (4) с точностью до членов порядка  $\varepsilon^2$  включительно совпадает с решением уравнения  $\Delta\mu = 0$  при тех же краевых условиях.

На фигуре изображена зависимость величины  $(1/hN)(\partial\mu/\partial n)$  ( $n$  — внешняя нормаль к поверхности) на поверхности балки  $y = h(a)$ ,  $x = h(b)$  от координат, полученная из решения этого последнего уравнения методом сеток. Учитывая, что поток атомов имеет обратное направление по отношению к потоку вакансий, видно, что с течением времени толщина балки должна уменьшаться, а ширина возрастать. Однако скорость этого процесса оказывается ничтожной.

Таким образом, при изгибе бездислокационного кристалла не должно быть какой-либо заметной деформации даже при температуре, близкой к температуре плавления. Для проверки этого был проведен эксперимент. Образцами служили выращенные осаждением пары нитевидные кристаллы кадмия без каких-либо видимых в микроскоп поверхностных дефектов. Отбирались кристаллы толщиной от 2 до 8 мк и длиной 1—2 мм, имевшие квадратное или близкое к нему поперечное сечение. Ось образцов совпадала с кристаллографическим направлением [1000]. Нагружение осуществлялось заданием постоянного прогиба конца кристалла. Величина прогиба выбиралась такой, чтобы (считая  $E \approx 2 \cdot 10^{11} \text{ дн/см}^2$ ) наибольшее напряжение в образце равнялось  $4 \cdot 10^7 \text{ дн/см}^2$ . Температура испытания составляла  $290^\circ \text{C}$ , а общая продолжительность 40—50 час. Для предотвращения окисления эксперимент проводился в атмосфере гелия.

Через каждые 8—10 час образцы вместе с нагружающим устройством вынимались из нагревательной установки, и после разгрузки производилось измерение поперечных размеров и остаточного прогиба. После окончания замеров образцы нагружались до первоначального напряжения. Точность измерений составляла  $\pm 0.6 \text{ мк}$ .

Ни в одном случае изменения поперечных размеров обнаружено не было, чего и следовало ожидать. Действительно, при помощи формулы (1) нетрудно подсчитать, что при указанных условиях абсолютная скорость перемещения поверхности не превосходит  $10^{-10} \text{ см/сек}$ , даже для кристаллов с  $h = 2 \text{ мк}$ , если использовать значение  $D_c$ , полученное в [8].

Приводим значения остаточного прогиба  $F$  в зависимости от времени  $t$  для уса с размерами  $2 \cdot 10^3 \times 3 \times 2.6 \text{ мк}$

|                  |   |    |    |    |    |    |
|------------------|---|----|----|----|----|----|
| $t, \text{ час}$ | 0 | 8  | 16 | 26 | 34 | 44 |
| $F, \text{ мк}$  | 0 | 21 | 21 | 21 | 21 | 21 |

Эти данные показывают, что после окончания первой стадии дальнейшая деформация не превосходит ошибок измерений.

Существование первой стадии, отмеченное и в [1], может быть связано с присутствием в кристаллах небольшого количества источников дислокаций. Кристаллы толщиной выше 5 мк, по-видимому, не являются бездислокационными и обычно обнаруживают заметную ползучесть до самого разрушения.

Поступила 2 II 1965

#### ЛИТЕРАТУРА

- З и л л н г К. К. Поведение нитевидных кристаллов при температурах, близких к температуре плавления. Физика твердого тела, 1965, т. 7, вып. 3.
- N a b a r g o F. R. N. Deformation of crystals by the motion of single ions. Report of a conference on the strengths of solids. London, Phys. Soc., 1948.
- К о н о б е е в с к и й С. Т. К теории фазовых превращений. Ж. эксперим. и теор. физ., 1943, т. 6, стр. 200.
- V a n В e g e n H. G. Imperfections in crystals. Amsterdam, 1960. (русск. перев.: Ван Бюрен. Дефекты в кристаллах. Изд. иностран. лит., 1962).
- Н е г г и н g C. Diffusional Viscosity of a Polycrystalline solids. J. Appl. Phys., 1950, vol. 21, p. 437.
- W a j d a E. S., S h i r n G. A., H u n t i n g t o n H. B. Lattice and grain boundary self-diffusion in cadmium. Acta met., 1955, vol. 3, p. 39.